

Denne delen: 2D diskret Fourier-transform (DFT)

- Grunnlaget og intuisjonen i Fourier-analyse
- Konvolusjonsteoremet med anvendelser

Alternativ basis

- Det finnes mange andre baser for matriser
 - Muligheten til å unikt representeren enhver matrise ligger i *basis*
- 2D DFT bruker én slik basis som er basert på sinuser og cosinuser med forskjellige frekvenser
 - Disse sinusene og cosinusene er faste for en gitt bildestørrelsen ($M \times N$) og kan representeres som hver sin mengde av bilder:



Cosinus-bildene for 4x4-bilder

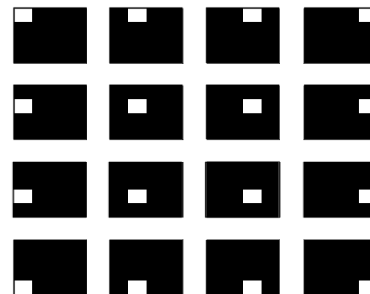


Sinus-bildene for 4x4-bilder

(i bildene er sort -1, grått er 0 og hvitt er 1)

Standardbasis for matriser

Eksempel: Standardbasis for 4x4

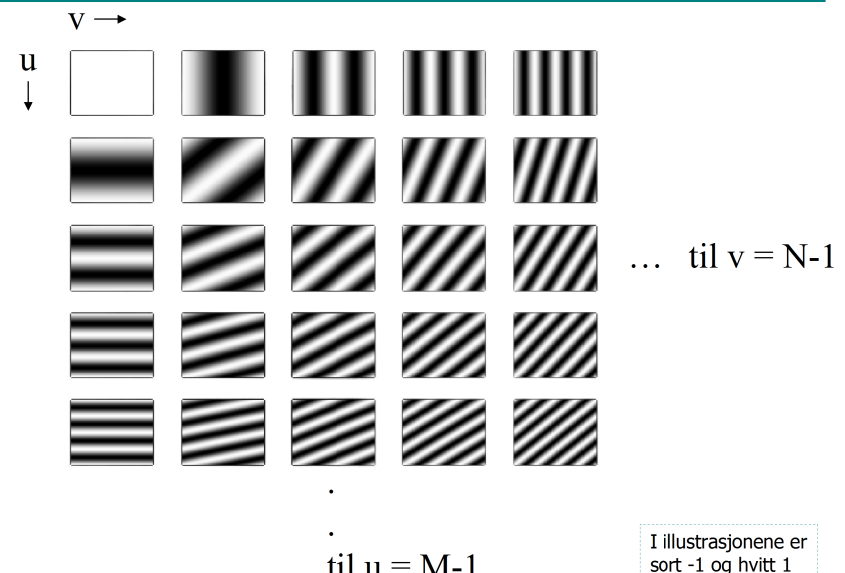


Undereksempel:

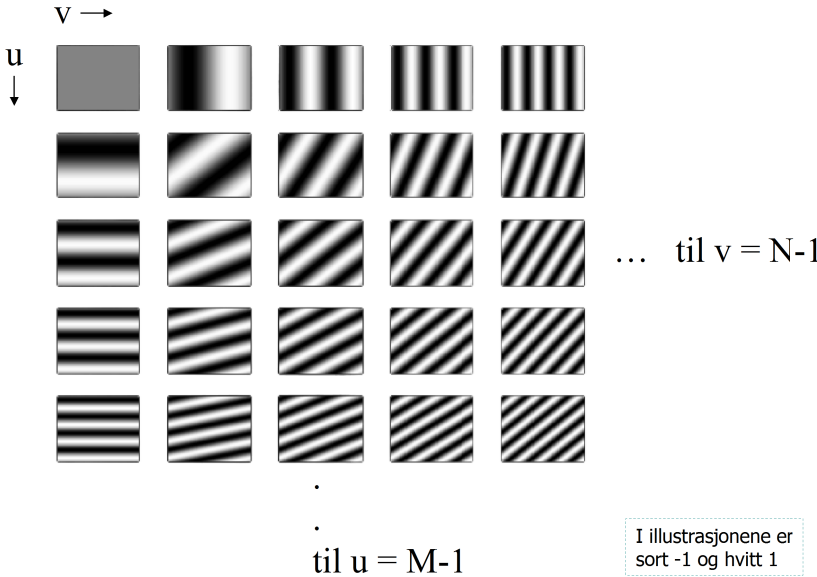
| | | | |
|---|---|---|---|
| 1 | 3 | 2 | 1 |
| 5 | 4 | 5 | 3 |
| 4 | 1 | 1 | 2 |
| 2 | 3 | 2 | 6 |

$$= 1 * \begin{matrix} & & & \\ & & \text{white} & \\ & & & \end{matrix} + 3 * \begin{matrix} & & & \\ & \text{white} & & \\ & & & \end{matrix} + \dots + 6 * \begin{matrix} & & & \\ & & & \text{white} \end{matrix}$$

Cosinus-bilder for større bilder



Sinus-bilder for større bilder



20. mars 2012

INF2310

5 / 26

Grunnleggende om 2D DFT

- $\text{real}(F(u,v)) = \text{sum}(\text{realdelen til 2D DFT-en av frekvensen } (u,v) \text{ bildet} \times \text{punkt-multiplisert cosinus-bildet av frekvensen } (u,v))$
- Tilsvarende for imaginærdelen og sinus-bildet
 - $F(u,v)$ er (generelt) et komplekst tall
 - $F(u,v)$ er en vektet sum av *alle* gråtoneintensitetene i bildet
 - Hvert punkt av 2D DFT-en beskriver noe ved *hele* bildet og ikke et bildepunkt
- Magnituden av en 2D DFT kalles dets *Fourier-spekteret*
 - Beskriver hvilke frekvenser gråtonebildet inneholder
 - Sterkt knyttet til intuisjonen i Fourier-analyse

20. mars 2012

INF2310

7 / 26

2D diskret Fourier-transform (DFT)

- 2D DFT av enhver $M \times N$ matrise (til og med kompleks!) er definert som:

$$F(u, v) = \sum_{x=0}^{M-1} \sum_{y=0}^{N-1} f(x, y) e^{-j2\pi(ux/M + vy/N)}$$

for $u = 0, 1, 2, \dots, M-1$ og $v = 0, 1, 2, \dots, N-1$

- x og y er hhv. vertikal og horisontal koordinat
- u og v er hhv. vertikal og horisontal frekvens
- $j = \sqrt{-1}$ er den imaginære enheten (ofte betegnet i i matematikken)
- 2D invers diskret Fourier-transform (IDFT) er definert som:

$$f(x, y) = \frac{1}{MN} \sum_{u=0}^{M-1} \sum_{v=0}^{N-1} F(u, v) e^{j2\pi(ux/M + vy/N)}$$

og vil *alltid perfekt reversere* basisskifte gjort av 2D DFT

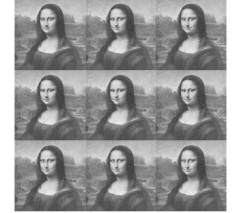
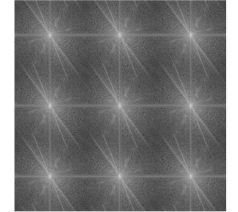
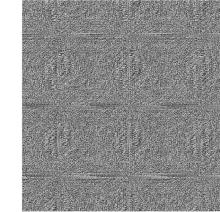
20. mars 2012

INF2310

6 / 26

Utvalgte egenskaper ved 2D DFT

- $F(u,v)$ er periodisk:
 - $F(u,v) = F(u+kM, v+kN)$ der k er et heltall; $k \in \mathbb{Z}$
 - $\Rightarrow F(u,v) = F(u+M, v) = F(u, v+N) = F(u+M, v+N)$
- Bildet antas indirekte å være periodisk:
 - $f(x,y) = f(x+kM, y+kN)$ der k er et heltall
- $F(u,v)$ er *konjugert symmetrisk* hvis (og bare hvis) $f(x,y)$ er reell
 - Konjugert symmetri: $F(u,v) = F^*(-u,-v)$
 - $\Rightarrow |F(u,v)| = |F(-u,-v)|$



20. mars 2012

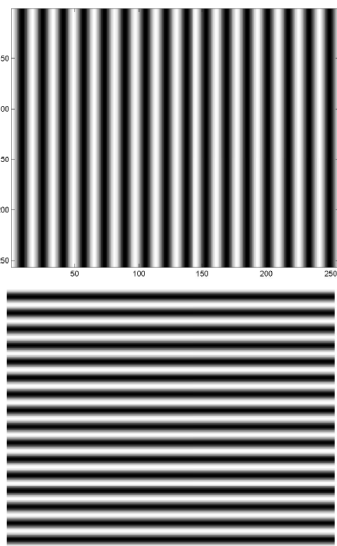
INF2310

20. mars 2012

INF2310

8 / 26

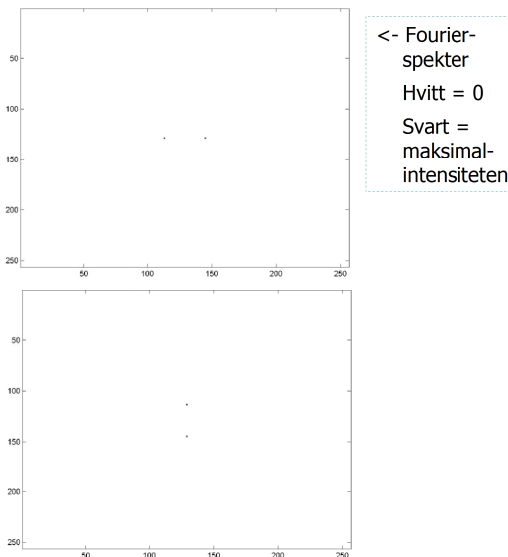
Eksempel: Fourier-spekteret av «rette» frekvenser



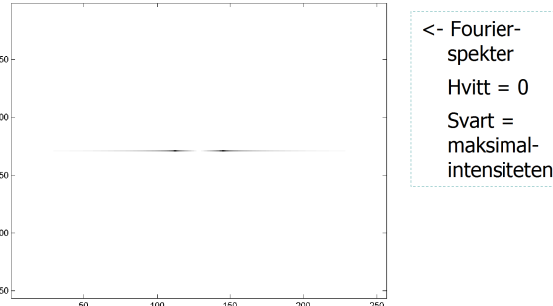
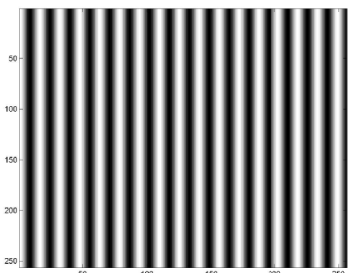
20. mars 2012

INF2310

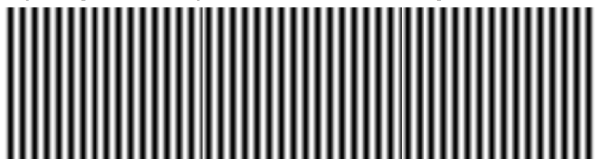
9 / 26



Eksempel: Fourier-spekteret ved diskontinuitet I



- Diskontinuitet oppstår når bildet ikke inneholdet et helt antall perioder
- Man ser den tydelig ved å repetere bildet i retningen for diskontinuiteten:

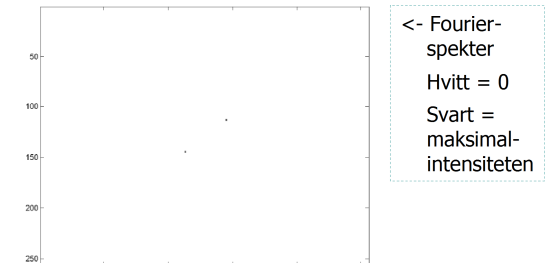


20. mars 2012

INF2310

11 / 26

Eksempel: Fourier-spekteret av «skrå» frekvenser

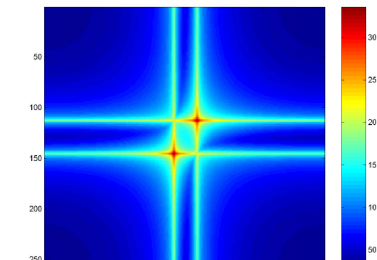


20. mars 2012

INF2310

10 / 26

Eksempel: Fourier-spekteret ved diskontinuitet II

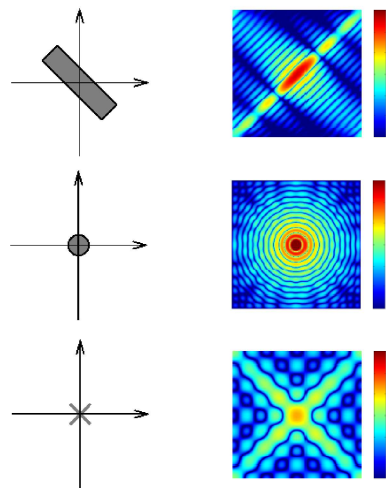


20. mars 2012

INF2310

12 / 26

Eksempel: Fourier-spekteret av enkle strukturer



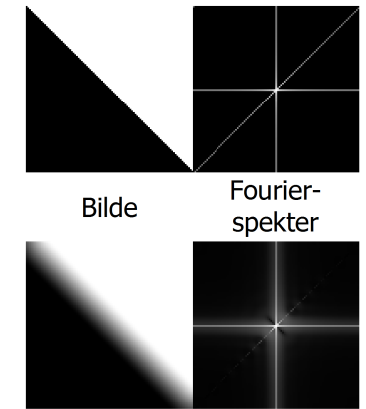
20. mars 2012

INF2310

13 / 26

Fourier-spektre og bildekant

- Skarp bildekant:
 - Vektet sum av mange sin/cos med forskjellige frekvenser
 - Mange positive koeffisienter i Fourier-spekteret
 - Bredt bånd i Fourier-spekteret
- «Blurret» (alt. flytende) bildekant:
 - Vektet sum av færre sin/cos
 - Færre positive koeffisienter i Fourier-spekteret
 - Smalere bånd i Fourier-spekteret



Konvolusjonsteoremet

- Konvolusjonsteoremet består av to deler:

1) Når \Leftrightarrow betegner at høyresiden er 2D DFT-en til venstresiden, er:

$$f(x, y) \star h(x, y) \Leftrightarrow F(u, v) \cdot H(u, v)$$

Sirkelkonvolusjon i bildedomenet \Leftrightarrow Punktvise multiplikasjon i frekvensdomenet

2) Det motsatte gjelder også:

$$f(x, y) \cdot h(x, y) \Leftrightarrow F(u, v) \star H(u, v)$$

Punktvise multiplikasjon i bildedomenet \Leftrightarrow Sirkelkonvolusjon i frekvensdomenet

– Bildene f og h antatt å ha samme størrelse

- Nullutvid det minste bildet slik at de får samme størrelse

20. mars 2012

INF2310

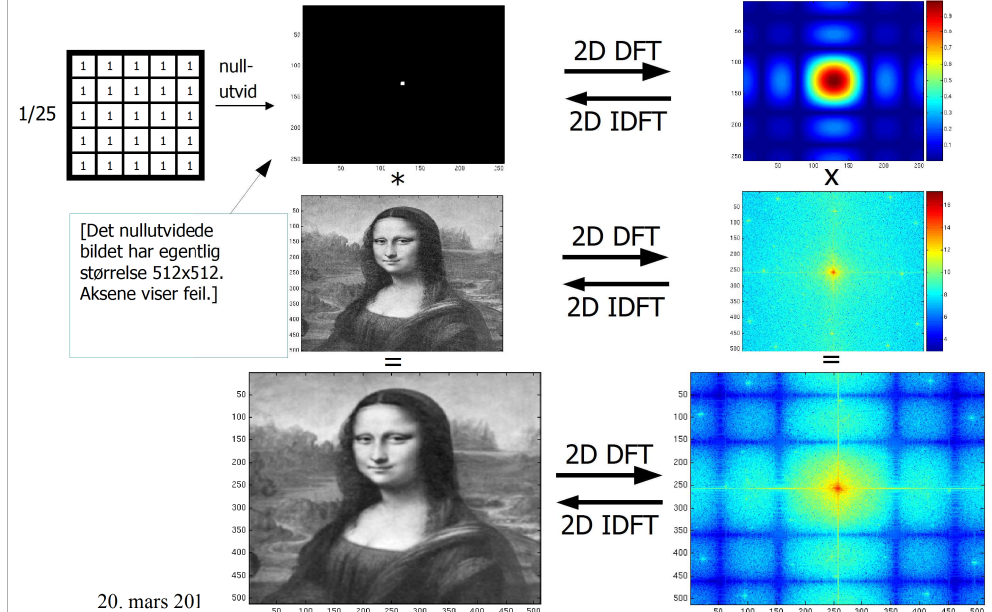
15 / 26

20. mars 2012

INF2310

14 / 26

Eksempel: Middelverdifilteret



Anvendelse av konvolusjonsteoremet

- Design av lineære filtre med bestemte frekvensegenskaper
 - Designe filteret i frekvensdomenet slik at det får de ønskelige frekvensegenskapene
- Analyse av konvolusjonsfiltre
 - 2D DFT-en til et konvolusjonsfilter gir oss innblikk i hvordan filteret vil påvirke de forskjellig frekvenskomponentene
- Rask implementasjon av større konvolusjonsfiltre

20. mars 2012

INF2310

17 / 26

Eksempel: Ideelt lavpassfilter



Original



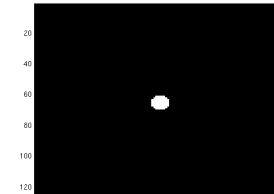
$D_0=0.2$



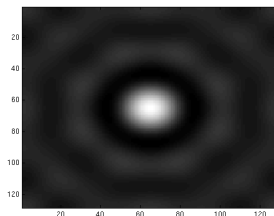
$D_0=0.3$

Se på bildene i god nok oppløsning (du skal se stripe/ringing-effekter i de to til høyre)

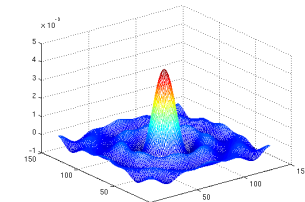
Filterdesign i frekvensdomenet Ideelt lavpassfilter og «ringing»



2D IDFT



Fourier-spekter til et
ideelt lavpassfilter



(trunkert sinc-funksjon)

- Vi får en «ringing»-effekt i bildet
 - Husk også tommelfingerregelen:
Smal/bred struktur i bildet \Leftrightarrow Bred/smål struktur i Fourier-spekteret

20. mars 2012

INF2310

18 / 26

Butterworth lavpassfilter

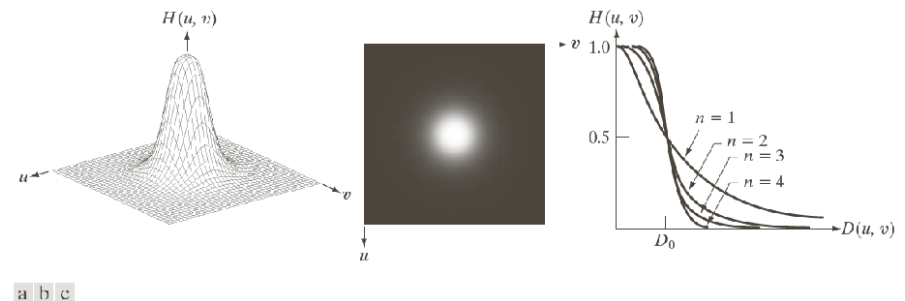
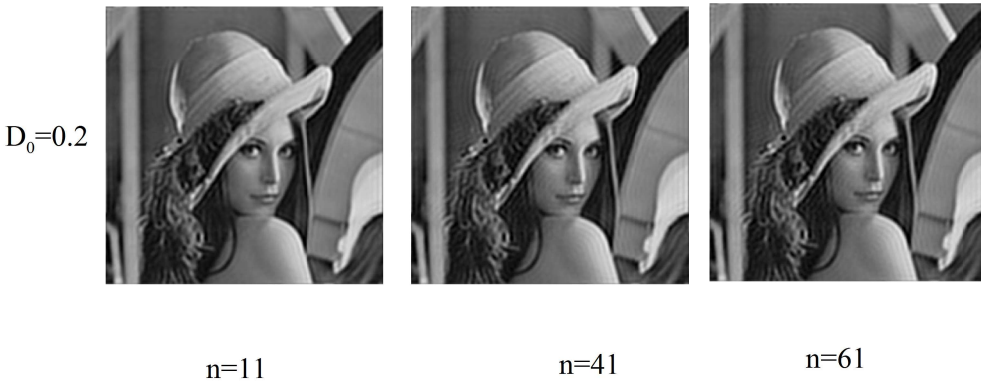


FIGURE 4.44 (a) Perspective plot of a Butterworth lowpass-filter transfer function. (b) Filter displayed as an image. (c) Filter radial cross sections of orders 1 through 4.

Eksempel: Butterworth lavpassfilter



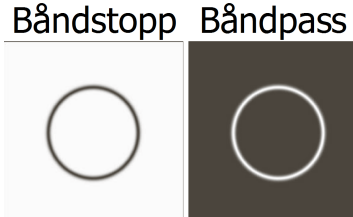
20. mars 2012

INF2310

21 / 26

Andre typer filtre

- Høypassfilter: $H_{HP}(u, v) = 1 - H_{LP}(u, v)$
- Båndpass-/båndstoppfilter



- Notch-filtre slipper igjennom eller stopper mindre predefinerte området i Fourier-spekteret
- Alle kan bruke de samme overgangene:
 - Ideelt, Butterworth, Gaussisk eller annen vindusfunksjon

20. mars 2012

INF2310

23 / 26

Gaussisk lavpassfilter

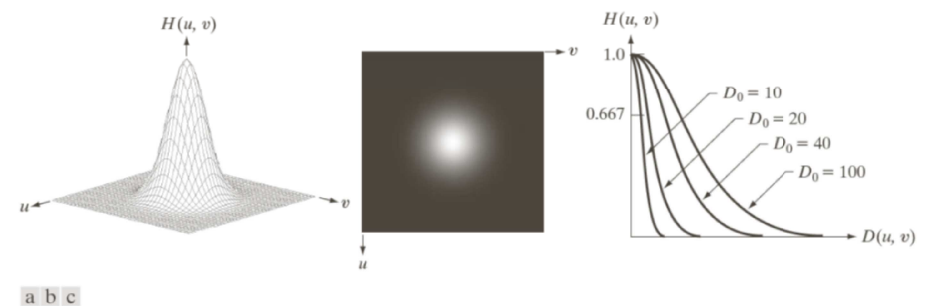


FIGURE 4.47 (a) Perspective plot of a GLPF transfer function. (b) Filter displayed as an image. (c) Filter radial cross sections for various values of D_0 .

- 2D IDFT-en av et Gaussisk lavpassfilter er også Gaussisk
 - Ingen ringing i bildedomenet!

20. mars 2012

INF2310

22 / 26

Wraparound-feil

- Periodisitetsegenskapen til 2D DFT gjør at **sirkulær indeksering** er implisitt antatt når vi filtrerer i frekvensdomenet
- For å behandle randproblemet annerledes må bildet utvides på ønskelig måte *før* 2D DFT-en av det beregnes
 - Filteret må da nullutvides til det utvidede bildet
- Dersom bildet har størrelse $M \times N$ og filteret $m \times n$, må det utvidede bildet minst ha størrelse $(M+m-1) \times (N+n-1)$

20. mars 2012

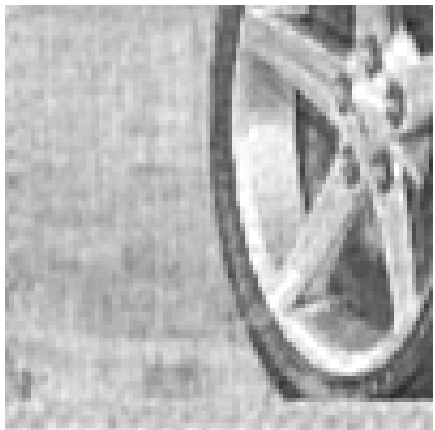
INF2310

20. mars 2012

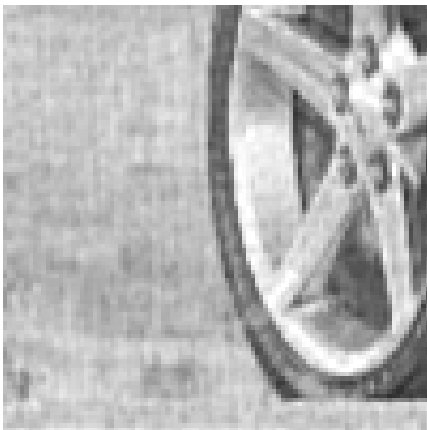
INF2310

24 / 26

Eksempel: Wraparound-feil



Uten nullutvidelse



Med nullutvidelse

Oppsummering

- 2D DFT er et representasjonsskifte basert på sinuser og cosinuser med forskjellige frekvenser
- Fourier-spekteret beskriver hvilke frekvenser bildet inneholder
 - Smal/bred struktur i bildet \Leftrightarrow Bred/smål struktur i Fourier-spekteret
 - Skarp/blurred kant i bildet \Leftrightarrow Mange/færre positive koeffisienter i Fourier-spekteret
- Konvolusjonsteoremet:
 - Sirkelkonvolusjon i bildedomenet tilsvarer punktmultiplikasjon i frekvensdomenet, og omvendt
- Anwendelser:
 - Design av filtre i frekvensdomenet (husk wraparound-feil!)
 - Lavpass, høypass, båndpass, båndstopp, notch
 - Analyse og rask implementasjon av konvolusjonsfiltre